

**ОБ ИНТЕРПРЕТАЦИИ СОБЫТИЙ В ПОДЗЕМНЫХ ДЕТЕКТОРАХ  
В МОМЕНТ 7 час. 35 мин. МВ 23 февраля 1987 г.**

O.Г.Ряжская, B.Г. Рясный

Рассматривается возможность интерпретировать события в подземных установках в момент 7 ч 35 мин мирового времени (МВ) 23 февраля 1987 г как регистрацию нейтринных потоков от Сверхновой СН 1987 А. Такая интерпретация приводит к ряду трудностей как в согласовании данных детекторов Камиканде-2 и IMB, так и при объяснении наблюдавшейся анизотропии продуктов взаимодействий.

Как известно, 23.02.1987 г на подземных установках были получены события, имитация которых фоном маловероятна  ${}^1 - {}^4$ . События на детекторах Камиканде-2 (K2), IMB и на баксанском сцинтилляционном телескопе  ${}^2 - {}^4$ , группируются около момента 7:35 МВ и интерпретируются авторами как взаимодействия  $\tilde{\nu}_e$ , излученных при вспышке Сверхновой СН 1987 А в Большом Магеллановом Облаке. Первые 2 импульса из 11 в детекторе K2 рассматриваются в  ${}^4$  как результат  $\nu e$ -рассеяния. Оценки полной энергии потока нейтрино всех типов ( $\nu_e, \mu, \tau$ )  $E_{\nu}^{tot}$ , приведенные в ряде работ (см., например,  ${}^5, {}^6$ ), согласуются, по утверждениям авторов, с значением  $\sim 3 \times 10^{53}$  эрг.

Между тем анализ события K2 показывает, что компонента, которая при нейтринной интерпретации связывается с  $\nu e$ -рассеянием, может быть и более значительной. С другой стороны, количество регистрируемых актов  $\nu e$ -рассеяния при  $E_{\nu}^{tot} \sim 3 \cdot 10^{53}$  эрг должно быть, по оценке, существенно меньше 2. Рассмотрим эти вопросы более подробно.

Если излучение  $\nu$  при гравитационном коллапсе соответствует современным представлениям, то основной вклад в наблюдаемый эффект  ${}^7, {}^8$  дают взаимодействия:

$$\tilde{\nu}_e + p \rightarrow n + e^+ - 1,8 \text{ МэВ}; \quad E_{\nu} \lesssim 50 \text{ МэВ}. \quad (1)$$

Сечение реакции (1) при  $E_{\nu} \gtrsim 1,8 \text{ МэВ}$   ${}^9$ :

$$\sigma(\tilde{\nu}_e p) = 2,43 \frac{E_e}{m} [(E_e/m)^2 - 1]^{1/2} \cdot 10^{-44} \text{ см}^2, \quad (2)$$

где  $E_e = T + m$  – полная энергия позитрона,  $T$  – его кинетическая энергия,  $m$  – масса электрона в энергетическом эквиваленте. Если не учитывать энергию отдачи нейтрона,  $T \approx E_{\nu} - 1,8 \text{ МэВ}$ , а энергетический спектр позитронов

$$n_{e^+}(T)dT \approx \frac{N_p dE_{\nu}}{4\pi R^2} n_{\tilde{\nu}_e}(E_{\nu}) \sigma(E_{\nu}), \quad (3)$$

$N_p$  – количество свободных протонов в рабочем веществе,  $R \approx 52$  кпс =  $1,56 \times 10^{23}$  см – расстояние до СН 1987 А;  $n_{\nu}^{\sim}(E_{\nu})dE_{\nu}$  – энергетический спектр  $\tilde{\nu}_e$ . Спектр позитронов имеет колоколообразную форму с максимумом в диапазоне  $15 - 20$  МэВ<sup>8</sup>, поэтому при пороге детектирования  $\sim 5 - 10$  МэВ большая часть позитронов регистрируется.

Дифференциальные сечения образования электронов с кинетической энергией в интервале ( $T, T + dT$ ) при  $\nu e$ -рассеянии<sup>10</sup>:

$$\frac{d\sigma_{\nu}}{dT} = 1,68 \left[ g_L^2 + g_R^2 \left( 1 - \frac{T}{E_{\nu}} \right)^2 \right] 10^{-44} \text{ см}^2 \text{МэВ}^{-1} \quad (4)$$

$$\frac{d\sigma_{\tilde{\nu}}}{dT} = 1,68 \left[ g_R^2 + g_L^2 \left( 1 - \frac{T}{E_{\nu}} \right)^2 \right] 10^{-44} \text{ см}^2 \text{МэВ}^{-1},$$

при  $E_{\nu} \gg m$ . Здесь  $g_R = \sin^2 \theta_W \approx 0,23$ ,  $g_L = 0,5 + \sin^2 \theta_W$  для  $\nu_e$  и  $\tilde{\nu}_e$ ,  $g_L = -0,5 + \sin^2 \theta_W$  для  $\nu_{\mu, \tau}$  и  $\tilde{\nu}_{\mu, \tau}$ . Энергетический спектр электронов рассеяния:

$$n(T)dT = \frac{N_e dt}{4\pi R^2} \sum_{\nu_i} \int_{E_{\min}}^{\infty} n_{\nu_i}(E_{\nu}) \frac{d\sigma_{\nu_i}}{dT} dE_{\nu}, \quad (5)$$

где  $N_e$  – количество электронов в рабочем веществе;  $\nu_i = \nu_{e, \mu, \tau} \tilde{\nu}_{e, \mu, \tau}$ ,  $E_{\min} \approx T$  при  $E_{\nu} \gg m \approx 0,5$  МэВ. Спектр электронов круто падает с увеличением  $T$ , и при пороге детектирования  $\sim 5 - 10$  МэВ значительная часть электронов рассеяния не регистрируется.

Направление движения  $e^-$  после  $\nu e$ -рассеяния отличается не более чем на  $5^\circ$  от направления импульса нейтрино. При движении в воде электрон испытывает многократное рассеяние, отклоняясь в среднем на угол  $\approx 28^\circ$ <sup>3</sup>. Таким образом, несмотря на рассеяние в воде, анизотропия в угловом распределении электронных треков сохраняется.

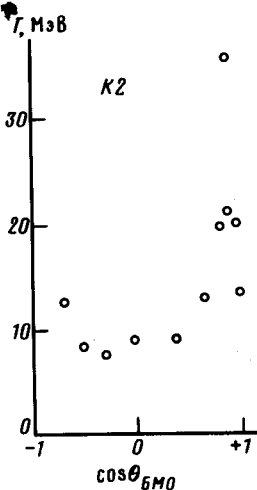


Рис. 1. Энергии импульсов и углы треков в событиях K2 и IMB

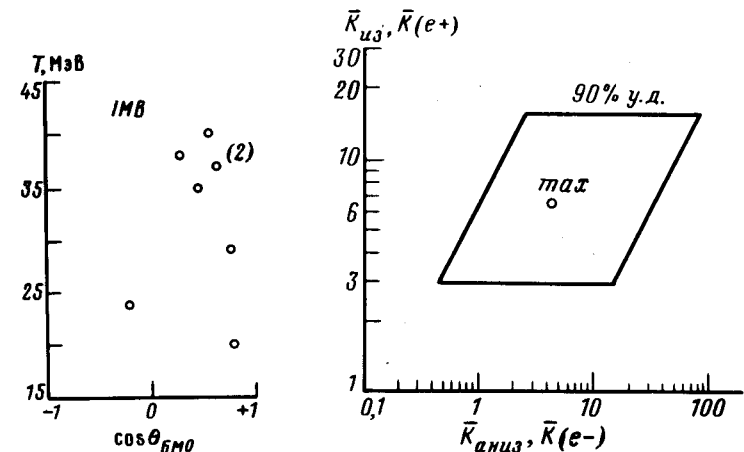


Рис. 2. 90%-ная доверительная область для оценок  $\bar{K}_{iz}, \bar{K}_{aniz}$ ;  $max$  – наиболее вероятное значение  $(\bar{K}'_{aniz}, \bar{K}'_{iz})$

Для получения конкретных оценок мы взяли спектры нейтрино из модели<sup>11</sup> и предположили, что они не меняются в течение вспышки. Сворачивая спектры (3) и (5) с функцией отклика детектора K2<sup>12</sup>, определим ожидаемую величину эффекта в установке. При  $E_{\nu}^{tot} = 3 \cdot 10^{53}$  эрг среднее количество регистрируемых позитронов  $\bar{K}(e^+) \approx 5,3$  или 61% от полного ожидаемого количества взаимодействий (1) в детекторе K2  $\bar{K}^{tot}(e^+)$ ; сред-

нее число регистрируемых актов  $\nu e$ -рассеяния  $\bar{K}(e^-) \approx 0,46$  или 16 % от  $\bar{K}^{tot}(e^-)$ . Заметим, что рассеяние  $\nu_{\mu, \tau} \bar{\nu}_{\mu, \tau}$  дает 7,5 % от  $\bar{K}^{tot}(e^-)$ . Отношение  $\bar{K}(e^+)/\bar{K}(e^-) = 11,7$ . Применяя другие модели коллапса, которые дают большую долю  $\bar{\nu}_e$  в полном потоке нейтрино (см., например, <sup>13, 14</sup>), можно согласовать  $\bar{K}(e^+)$  с данными K2. Однако при этом  $\bar{K}(e^+)/\bar{K}(e^-) > 11,7$ . Другими словами, модель <sup>11</sup> приводит к наибольшей анизотропии в угловом распределении треков  $e^\pm$ , что и определило ее выбор.

Амплитуды импульсов и направления треков для событий K2 <sup>4</sup> и IMB <sup>3</sup> приведены на рис. 1. Как отмечалось в <sup>15, 16</sup>, угловые распределения треков в этих событиях плохо согласуются с изотропией. Анизотропия в детекторе IMB могла быть вызвана тем, что часть фотоумножителей в 7 : 35 не работала, но анализ <sup>17</sup> показал, что изменения оказались незначительными.

Предположим, что событие K2 состоит из анизотропной и изотропной компонент, дающих в среднем  $\bar{K}_{\text{аниз}}$  и  $\bar{K}_{\text{из}}$  событий, соответственно. Будем считать также, что все треки анизотропной компоненты лежат внутри конуса с углом при вершине  $\theta_{\text{БМО}} = 60^\circ$  (ось конуса ориентирована в направлении от Большого Магелланова Облака). Распределение оценок ( $\bar{K}_{\text{аниз}}$ ;  $\bar{K}_{\text{из}}$ ) следует из выражений для вероятности получить 5 треков изотропной компоненты в интервале  $-1 \leq \cos \theta_{\text{БМО}} \leq 0,5$ :

$$P_5 = \frac{(0,75 \bar{K}_{\text{из}})^5}{5!} e^{-0,75 \bar{K}_{\text{из}}} \quad (6)$$

и вероятности получить 6 треков из 11 с  $0,5 \leq \cos \theta_{\text{БМО}} \leq 1$ :

$$P_{6,11} = C_{11}^6 p^6 (1-p)^5, \quad (7)$$

где  $p = (0,25 \bar{K}_{\text{из}} + \bar{K}_{\text{аниз}}) / (\bar{K}_{\text{из}} + \bar{K}_{\text{аниз}})$  – вероятность получить 1 трек с  $\cos \theta_{\text{БМО}} \geq 0,5$ . Границы 90 %-ной доверительной области показаны на рис. 2. Отметим, что на 99 %-ном уровне достоверности  $\bar{K}_{\text{аниз}} \geq 0,6$ . Наиболее вероятные оценки:  $\bar{K}'_{\text{из}} \approx 6,7$ ;  $\bar{K}'_{\text{аниз}} \approx 4,3$ .

Если исходить из нейтринной интерпретации событий K2, то анизотропную компоненту естественно связать с  $\nu e$ -рассеянием, а изотропную – с взаимодействиями (1), так что  $\bar{K}_{\text{из}} = \bar{K}(e^+)$ ;  $\bar{K}_{\text{аниз}} = \bar{K}(e^-)$ . Из анализа данных следует, что 95 %-ный доверительный интервал для  $\bar{K}_{\text{аниз}}/\bar{K}_{\text{из}}$ :  $0,65 \pm 0,49$ . Сравнивая его границы с полученным ранее значением  $\bar{K}(e^+)/\bar{K}(e^-) = 11,7$ , приходим к выводу, что ожидаемое отношение не согласуется с экспериментальными данными даже для модели <sup>11</sup>, которая дает наибольшую долю  $\nu e$ -рассеяния в полном эффекте.

Энергетические спектры изотропной и анизотропной компонент события K2 плохо согласуются с существующими моделями коллапса <sup>18</sup>. Для подгонки к экспериментальным данным приходится вводить "мягкие" спектры  $\nu_e$  и  $\bar{\nu}_e$ . При этом анизотропная компонента может быть целиком связана с  $\nu_{\mu, \tau} e^-$ - и  $\bar{\nu}_{\mu, \tau} e^-$ -рассеянием, что приводит к  $E_\nu^{tot} \sim (5-6) \cdot 10^{54}$  эрг.

Если рассмотреть совместимость данных K2 и IMB, то имеющаяся несогласованность также затрудняет нейтринную интерпретацию. 1) Из данных K2 с учетом эффективности регистрации и разницы в массах рабочего вещества, следует оценка количества взаимодействий, которое должен зарегистрировать детектор IMB:  $\bar{K}_{\text{IMB}} \approx 2,7$ . Зарегистрировано 8 импульсов. Вероятность случайной флуктуации  $< 10^{-2}$ . 2) В общем диапазоне  $T \gtrsim 20$  МэВ средний угол  $\bar{\theta}_{\text{БМО}}(\text{K2}) = 29^\circ 5 \pm 8^\circ 4$ ;  $\bar{\theta}_{\text{БМО}}(\text{IMB}) = 59^\circ 8 \pm 20^\circ 5$ . Углы 6 треков из 8 в событии IMB отличаются от  $\bar{\theta}_{\text{БМО}}(\text{K2})$  более чем на  $20^\circ 5$ ; вероятность случайной флуктуации  $< 10^{-3}$ .

Таким образом, нейтринная интерпретация событий в 7 : 35 МВ сталкивается с рядом трудностей. Случайная же фоновая флуктуация в нескольких установках крайне маловероятна, особенно если учесть близость этого события к моменту обнаружения CH 1987 A. По

нашему мнению, не следует ограничиваться одной гипотезой о причине срабатывания установок. Возможно, нужно изучить влияние возмущений в геомагнитном поле на скорость счета подземных установок, для чего необходим корреляционный анализ экспериментальных данных различных установок за все время их работы.

Авторы благодарят Г.Т.Затепина, В.Л.Дадыкина, К.Кастаньоли и Дж.Чини за полезное обсуждение данной работы.

#### Литература

1. Дадыкин В.Л. и др. Письма в ЖЭТФ, 1987, **45**, 464.
2. Алексеев Е.Н. и др. Письма в ЖЭТФ, 1987, **45**, 461.
3. Bionta K. et al. Phys. Rev. Lett., 1987, **58**, 1494.
4. Hirata K. et al. Phys. Rev. Lett., 1987, **58**, 1490.
5. Sato K., Suzuki H. Phys. Lett. B, 1987, **196**, 267.
6. Чудаков А.Е., Еленский Я.С., Мухеев С.П. Письма в ЖЭТФ, 1987, **46**, 297.
7. Domogatsky G. V., Zatsepin G. T. Proc. 9-th Int. Cosmic Ray Conf. (hereafter ICRC), 1965, **2**, 1030.
8. Chudakov A.E., Ryazhskaya O.G., Zatsepin G.T. Proc. 13-th ICRC, 1973, **3**, 2007.
9. Domogatsky G. V., Eramzhyan R.A., Nadyozhin D.K. Astrophys. Sp. Sci., 1978, **58**, 273.
10. Окунь Л.Б. Лептоны и кварки, 1981, М.: Наука.
11. Bowers R., Wilson J.R. Astrophys. J., 1982, **263**, 366.
12. Kifune T. Highlight Talk at 20 th ICRC , 1987, in press.
13. Надежин Д.К., Отрощенко И.В. АЖ, 1980, **57**, 78.
14. Mayle R., Wilson J.R., Schramm D.N. Astrophys J. 1987, **318**, 288.
15. Learned J. Preprint of Hawaii Univ., 1987.
16. Ряжская О.Г. Доклад на объединенной сессии Отделений ядерной и общей физики АН СССР, 27 мая 1987 г.
17. Learned J. Talk at the Workshop on the SN 1987 A, 20-th ICRC, 1987.
18. Ryazhskaya O.G., Ryasny V.G. Proc. 2-nd Int. Symp. "Underground Physics", 1987; M: Nauka, 1988, in press.